

$$\xi_2(x) = \frac{1}{\rho_1 g} \left\{ \frac{q_1}{\gamma_1 \sin(\gamma_1 L)} \cos(\gamma_1(L-x)) B_1 \left(\frac{\gamma_1 + 1}{\gamma_1 - 1} \exp\left(-\frac{\gamma_1 \alpha}{2}\right) + \exp\left(\frac{\gamma_1 \alpha}{2}\right) \right) + \frac{q_2}{\gamma_2 \sin(\gamma_2 L)} \cos(\gamma_2(L-x)) B_2 \left(\frac{\gamma_2 + 1}{\gamma_2 - 1} \exp\left(-\frac{\gamma_2 \alpha}{2}\right) + \exp\left(\gamma_2 \frac{\alpha}{2}\right) \right) \right\}.$$

Формулы для возвышений состоят из двух частей. При этом, как не сложно заметить, первые слагаемые слабо зависят от стратификации и при $\varepsilon \rightarrow 0$ переходят в возвышение поверхности уровня и мнимой границы раздела однородного слоя [5]. Вторые слагаемые целиком обязаны наличию стратификации, при этом отношение амплитуд этих волн на поверхности и на границе раздела, как показывает анализ, пропорционально $\delta(\varepsilon)$, $\delta(\varepsilon) \rightarrow 0$ при $\varepsilon \rightarrow 0$. А так как в реальных условиях $\varepsilon \approx 10^{-3}$, то в случае совпадения частоты σ с резонансной частотой (при которой обращается в нуль $\sin(\gamma_2 L)$) амплитуда волны на границе раздела существенно больше амплитуды волны на поверхности. В случае, когда резонансной является частота, соответствующая γ_1 , эти амплитуды сравнимы по величине.

В заключение авторы благодарят С. А. Габова за полезное обсуждение работы.

СПИСОК ЛИТЕРАТУРЫ

- [1] Самолюбов Б. И., Галкин С. В., Зеленев А. А. // Изв. АН СССР. ФАО. 1983. 19. С. 1188—1198. [2] Габов С. А., Свешников А. Г. // ЖВМ и МФ. 1980. 20, № 6. С. 1564—1579. [3] Габов С. А., Кастро Р. // Вестн. Моск. ун-та. Сер. 1, Матем. и мех. 1980. № 6. С. 62—67. [4] Вайнберг М. М., Треногин В. А. Теория ветвления решений нелинейных уравнений. М., 1969. [5] Сежерж-Зенкович С. Я. // Вестн. Моск. ун-та. Сер. 1, Матем. и мех. 1972. № 6. С. 112—121.

Поступила в редакцию
30.10.85

ВЕСТН. МОСК. УН-ТА. СЕР. 3. ФИЗИКА. АСТРОНОМИЯ. 1987. Т. 28, № 1

УДК 577.3:577.4

НОВЫЙ МЕТОД РАСЧЕТА ПОДПОВЕРХНОСТНЫХ ПОТОКОВ ФОТСИНТЕТИЧЕСКИ АКТИВНОЙ РАДИАЦИИ И СЛЕДСТВИЯ ДЛЯ РАСЧЕТА ПРОДУКЦИИ ФИТОПЛАНКТОНА В ЕСТЕСТВЕННЫХ ВОДОЕМАХ

Х. Баумерт (ГДР)

(кафедра физики моря и вод суши)

1. Введение, обозначения. Качественные и количественные свойства временных изменений подповерхностной фотосинтетически активной солнечной радиации I_0 (ФАР, 350—700 нм) представляют большой интерес для водной экологии. Этот радиационный поток является главным источником энергии и негэнтропии для всех водных экосистем, включая океаны как биохимические реакторы глобального значения.

В литературе описаны различные подходы к проблеме [1, 2]. Несмотря на важность проблемы, до настоящего времени в литературе имелись только грубые оценки качественных и количественных характеристик ФАР. Основной причиной этого было отсутствие точных из-

мерений квантового потока I_0 непосредственно под поверхностью воды и соответствующих положений Солнца. На основе результатов [3], полученных при помощи квантового счетчика, мы попытаемся предложить метод расчета радиационных характеристик, достаточно точный для экологических приложений. В работе [3] получено для ясного безоблачного неба

$$I_0(t, t', \varphi) = \gamma [\sin \tilde{h}_\odot(t, t', \varphi)]^\beta, \quad (1)$$

где $\tilde{h}_\odot(t, t', \varphi)$ — наблюдаемая высота Солнца над горизонтом (в градусах). Эмпирические параметры γ и β в (1), определенные на основе измерений, проведенных в Северном, Средиземном, Карибском и Саргассовом морях, Северной Атлантике и Индийском океане, равны

$$\gamma = 1,2 \cdot 10^{21} \text{ фотон}/(\text{м}^2 \cdot \text{с}) \approx 456 \text{ Вт}/\text{м}^2 = 1,642 \text{ МДж}/(\text{м}^2 \cdot \text{ч}),$$

$$\beta = 1,40,$$

где

$$1 \text{ фотон соответствует } \frac{1}{\lambda_2 - \lambda_1} \int_{\lambda_1}^{\lambda_2} \frac{hc}{\lambda} d\lambda \approx 3,8 \cdot 10^{-19} \text{ Дж}, \lambda_1 = 350 \text{ нм},$$

$\lambda_2 = 700 \text{ нм}$, h — постоянная Планка, c — скорость света. Ниже будут приведены астрономические формулы для $\tilde{h}_\odot(t, t', \varphi)$, использующие следующие обозначения: t — порядковый номер дня года [сут]; t' — суточное время [ч] ($t' = 0$ соответствует максимальной высоте Солнца над горизонтом); φ — географическая широта [градусы]; $\tau(t, \varphi)$ — продолжительность фотопериода [ч]; T — средняя продолжительность суток, $T = 24$ ч; $I_0(t, t', \varphi)$ — мгновенная интенсивность подповерхностного потока ФАР [МДж/($\text{м}^2 \cdot \text{ч}$)]; $I_{0, \max}(t, \varphi)$ — суточный максимум I_0 [МДж/($\text{м}^2 \cdot \text{ч}$)]; $\langle I_0 \rangle_{t, \varphi}$ — суточный интеграл I_0 [МДж/($\text{м}^2 \cdot \text{сут}$)]; $\tilde{h}_\odot(t, t', \varphi)$ — наблюдаемая высота Солнца над горизонтом [градусы]; $h_\odot(t, t', \varphi)$ — «истинная» высота Солнца [градусы].

2. Астрономические формулы. Движение Солнца относительно неподвижного наблюдателя на Земле обычно описывается тремя системами (см. любой справочник по астрономии, например [4]): а) горизонтальной, б) экваториальной и в) эклиптической. Пренебрегая рефракцией в атмосфере и конечным угловым размером Солнца, получаем окончательно

$$h_\odot(t, t', \varphi) = 90^\circ - \arccos[(c \sin \varphi) (\sin \delta_\odot) + (\cos \varphi) (\cos \delta_\odot) \cos(\omega_\oplus t')],$$

$$\delta_\odot(t) = \arcsin\{(\sin \varepsilon) \sin[\omega_\odot(t - t_s)]\}, \quad (2)$$

где ω_\odot — угловая скорость орбитального движения Земли относительно Солнца ($\omega_\odot \approx 0,9863^\circ/\text{ч}$); ω_\oplus — угловая скорость вращения Земли ($\omega_\oplus \approx 15^\circ/\text{ч}$); t_s — номер дня весеннего равноденствия ($t_s = 80$ сут); ε — склонение эклиптики ($\varepsilon \approx 23,44^\circ$); $\delta_\odot(t)$ — угловое отклонение Солнца [градусы].

Продолжительность фотопериода может быть рассчитана при помощи (2) и при условии $h_\odot = 0$ (если пренебречь рефракцией в атмосфере и угловым размером Солнца):

$$\tau(t, \varphi) = \frac{2}{\omega_\oplus} \arccos[-(\text{tg } \varphi) (\text{tg } \delta_\odot)]. \quad (3)$$

Полагая $\tilde{h}_\odot = h_\odot$ и подставив (2) и (3) в (1), получим

$$I_0(t, t', \varphi) = \gamma [a + b \cos(\omega_\oplus t')]^\beta;$$

$$a(t, \varphi) = (\sin \varphi) (\sin \delta_\odot);$$

$$b(t, \varphi) = (\cos \varphi) (\cos \delta_\odot);$$

(4)

$$\langle I_0 \rangle_{t, \varphi} = \frac{2}{T} \int_0^{\tau/2} I_0(t, t', \varphi) dt' = \frac{2\gamma}{T} \int_0^{\tau/2} [a + b \cos(\omega_\oplus t')]^\beta dt';$$

$$I_{0, \max}(t, \varphi) = \gamma (a + b)^\beta.$$

3. Численные результаты. Для определения численного значения интеграла в (4) мы использовали правило Симпсона с 50 интервалами.

На рис. 1, а показана зависимость $\langle I_0 \rangle_{t, \varphi}$ от дня года t и широты φ . Мы приводим только половину этих симметричных кривых. Данные

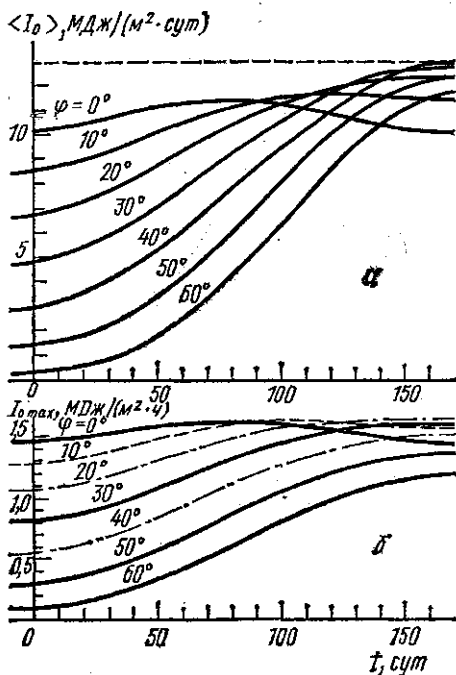


Рис. 1. Зависимость суточного интеграла ФАР (I_0) (а) и суточного максимума ФАР $I_{0, \max}$ (б) от географической широты φ и от дня года t

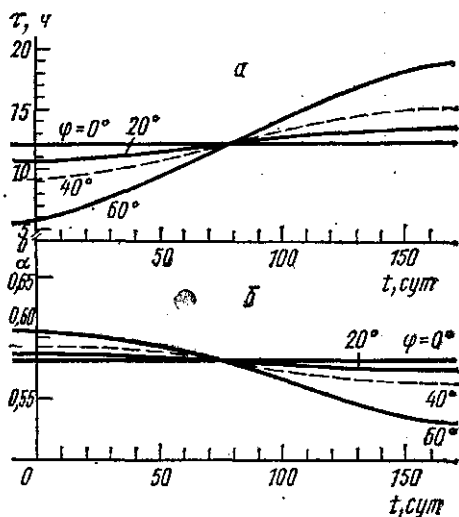


Рис. 2. Зависимость продолжительности фотопериода τ (а) и формфактора суточного изменения ФАР δ (б) от географической широты φ и от дня года t

рис. 1, а относятся к Северному полушарию. Значения для Южного полушария могут быть получены простым переходом от t к $t \pm 182,5$ сут. Как нетрудно видеть, $\langle I_0 \rangle_{t, \varphi} \leq 13$ МДж/(м²·сут). На рис. 1, б аналогично представлено годовое изменение $I_{0, \max}(t, \varphi)$ с очевидной верхней границей $I_{0, \max} \leq 1,642$ МДж/(м²·ч) = γ .

На рис. 2, а даны соответствующие продолжительности фотопериода. На рис. 3 показан годовой интеграл $I_a(\varphi)$ как функция широты (кривая 1). Для практического использования представляем I_a как многочлен (φ в градусах):

$$I_a(\varphi) \approx (3976,2 - 9,643\varphi - 0,4405\varphi^2) \text{ МДж/(м}^2 \cdot \text{год)}.$$

Соответствующее среднегодовое значение

$$\begin{aligned} \overline{\langle I_0 \rangle}_\varphi &\approx (10,9 - 0,0264\varphi - 0,00121\varphi^2) \text{ МДж}/(\text{м}^2 \cdot \text{сут}) = \\ &= (3,03 - 0,00733\varphi - 0,000336\varphi^2) \text{ кВт} \cdot \text{ч}/(\text{м}^2 \cdot \text{сут}) = \\ &= (0,126 - 3,05 \cdot 10^{-4}\varphi - 1,40 \cdot 10^{-5}\varphi^2) \text{ кВт}/\text{м}^2. \end{aligned}$$

4. Ошибки приближения. Астрономические формулы (4) содержат три главных приближения: а) атмосферной рефракцией, б) угловым размером Солнца, в) многими малыми астрономическими поправками, связанными с использованием усредненной продолжительности года, усредненного расстояния Земля—Солнце, пренебрежением влияния других тел Солнечной системы и т. п.

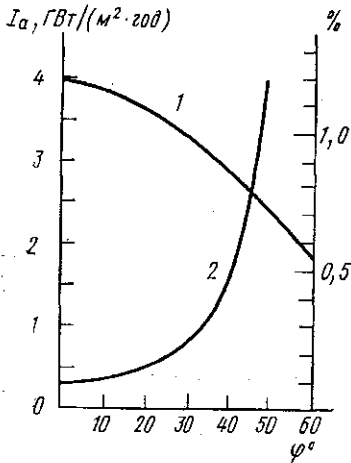


Рис. 3. Зависимость годового интеграла ФАР I_a (1) и ошибки суточного интеграла ФАР из-за пренебрежения рефракцией атмосферы для $t = -11$ (2) от географической широты φ

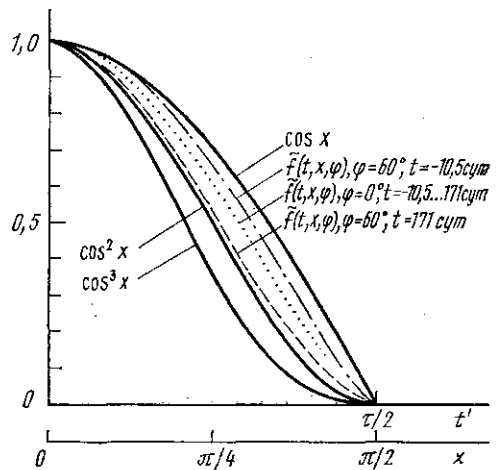


Рис. 4. Разные примеры нормированного суточного изменения ФАР в зависимости от нормированного времени дня t'

В то время как приближение (в) имеет весьма малое значение по сравнению с приближениями (а) и (б), последние иногда учитываются при расчетах потока ФАР (см., например, [1]).

Угловая рефракция R для солнцестояния при средних значениях атмосферных параметров [5, 6, 7] представляется как

$$R = \tilde{h}_\odot - h_\odot = r \left(\frac{1 + \theta}{\theta + \sin^2 h_\odot} \right)^{1/2} \cos h_\odot, \quad \theta \approx 7,25 \cdot 10^{-4}, \quad r \approx 57'' = 0,55''$$

(т. е. $\Delta\tau_R \approx 4,4$ мин). (5)

Средний угловой размер Солнца для земного наблюдателя $0,267^\circ$ (т. е. $\Delta\tau_S \approx 2,2$ мин). Соответствующая относительная ошибка продолжительности дня, рассчитанная по (4), имеет величину

$$\left| \frac{\Delta\tau_R}{\tau} \right| \leq 1,2\%, \quad \left| \frac{\Delta\tau_S}{\tau} \right| \leq 0,6\%.$$

Вообще говоря, не очевидно, что соответствующая ошибка суточного интеграла $\langle I_0 \rangle_{t,\varphi}$ имеет тот же порядок. Для изучения влияния $R = R(h_\odot)$ мы рассчитали два суточных интеграла по формулам

$$\langle I_0 \rangle_{t,\varphi} = \frac{2\gamma}{T} \int_0^{\tau/2} \sin^\beta [\tilde{h}_\odot(t, t', \varphi)] dt',$$

$$\tilde{h}_\odot(t, t', \varphi) = h_\odot(t, t', \varphi) + R(h_\odot),$$

где R при коррекции по рефракции определяется по (5), а при отсутствии коррекции ($\tilde{h}_\odot = h_\odot$) $R = 0$. Относительная разница значений этих интегралов для «критического» дня $t = -11$ (для Северного полушария) дана на рис. 3 (кривая 2). Для широт менее 50° относительная разница менее 1%. Для широты 60° она равна 6,3%.

С другой стороны, данные [3] показывают, что $I_0(t, t', \varphi)$ зависит от флуктуирующих атмосферных условий. Относительное среднеквадратичное отклонение (1) не менее 10%. Поскольку $\Delta\tau_R$ и $\Delta\tau_S$ имеют разные знаки, что приводит к частичной компенсации соответствующих отклонений, ошибка в формуле (4) на один порядок меньше, чем в (1). Таким образом, полностью оправдывается использование только (4).

5. Формфактор суточного изменения потока ФАР. Определим безразмерную мгновенную ФАР как

$$f(t, t', \varphi) = \frac{I_0(t, t', \varphi)}{I_{0,\max}(t, \varphi)},$$

причем $f(t, 0, \varphi) = 1$, $f(t, \tau/2, \varphi) = 0$, и формфактор α как

$$\alpha(t, \varphi) = \frac{2}{\pi} \int_0^{\pi/2} f(t, t', \varphi) dt'.$$

При использовании безразмерного времени x ,

$$x = \pi t' / \tau(t, \varphi),$$

для формфактора α получим

$$\alpha(t, \varphi) = \frac{2}{\pi} \int_0^{\pi/2} \tilde{f}(t, x, \varphi) dx,$$

причем $\tilde{f}(t, 0, \varphi) = 1$, $\tilde{f}(t, \pi/2, \varphi) = 0$. Таким образом, суточный интеграл $\langle I_0 \rangle_{t,\varphi}$ может быть выражен как

$$\langle I_0 \rangle_{t,\varphi} = \alpha I_{0,\max} \frac{\tau}{T}$$

или

$$\alpha = \frac{T}{\tau} \frac{\langle I_0 \rangle_{t,\varphi}}{I_{0,\max}}. \quad (6)$$

На основе наших численных результатов мы рассчитываем α по (6). Результаты приведены на рис. 2, б. Можно заключить, что

$$0,525 \leq \alpha(t, \varphi) \leq 0,61, \text{ если } |\varphi| \leq 60^\circ, \quad (7)$$

т. е. α является мало меняющимся параметром и форма суточного изменения ФАР должна быть относительно постоянной.

Для сравнения с нашим результатом (7) в таблице приведены описанные ранее приближения.

Некоторые приближения для суточного изменения ФАР

i	$\tilde{f}_i(t, x, \varphi)$	$\alpha_i(t, \varphi)$	Источник
1	$\cos x$	$2/\pi \approx 0,64$	O'Connor & Di Toro [8]
2	$\cos^2 x$	$1/2 = 0,50$	Steel [9]
3	$\cos^3 x$	$4/3\pi \approx 0,42$	Parsons & Takahashi, 1973 (цит. по [10])

Заметим, что $\alpha_2 \leq \alpha \leq \alpha_1$, т. е.

$$\cos^2 x \leq \tilde{f}(t, x, \varphi) \leq \cos x.$$

Это иллюстрируется рис. 4. В итоге представляем

$$f(t, t', \varphi) = A \cos\left(\frac{\pi}{\tau} t'\right) + B \cos^2\left(\frac{\pi}{\tau} t'\right). \quad (8)$$

Коэффициенты A, B можно определить, задавая в (8) $t'=0$ и интегрируя (8) по $t'=0 \dots \pi/2$. В результате

$$\begin{cases} B = 1 - A, \\ A = \pi \frac{2\alpha - 1}{4 - \pi} \approx 7,32\alpha - 3,66 \approx 0,18 \dots 0,81. \end{cases}$$

Окончательно получим

$$\begin{cases} I_0(t, t', \varphi) = I_{0, \max} \left\{ \left[7,32\alpha - 3,66 + (4,66 - 7,32\alpha) \cos\left(\frac{\pi}{\tau} t'\right) \right] \cos\left(\frac{\pi}{\tau} t'\right) \right\}, \\ \alpha = \alpha(t, \varphi), \\ I_{0, \max} = I_{0, \max}(t, \varphi), \\ \tau = \tau(t, \varphi). \end{cases} \quad (9)$$

В экологических приложениях применение (9) для расчетов иногда удобнее, чем (4).

6. **Формфактор и суточная продукция фитопланктона.** Полная суточная продукция органического вещества (нормированного на количество углерода) в водном столбе может быть описана как [11]

$$\begin{aligned} \Pi &= \left(1 - \frac{z_{эв}}{z_*}\right) \Phi_{эфф} \langle I_0 \rangle \Psi(p), \\ \Psi(P) &= \frac{2}{\alpha \pi p} \int_0^{\pi/2} \int_0^{\infty} g(J(x, y)) dy dx, \end{aligned} \quad (10)$$

$$J(x, y) = p \tilde{f}(t, x, \varphi) e^{-y}.$$

Двойной интеграл в (10) содержит интегрирование по безразмерной глубине $y=0 \dots \infty$ (мы предполагаем здесь полное светопоглощение в водном столбе) и интегрирование по безразмерному времени $x=0 \dots \pi/2$, причем $g(J)$ — безразмерная скорость фотосинтеза как функция безразмерной интенсивности света J ; p — безразмерное отношение I_0/I_k ; I_k — интенсивность полунасыщения [МДж/(м²·ч)]; $z_{эв}$ — глубина эвфотической зоны [м]; $\Phi_{эфф}$ — эффективное значение квантового выхода

фотосинтеза (для данных условий) [гС/МДж]; z_* — верхний предел $z_{\text{об}}$ ($z_* = 120$ м). Для изучения влияния $\bar{f}(t, x, \varphi)$ на Π и Ψ полагаем

$$\bar{f}(t, x, \varphi) = \cos^n x, \quad n=1, 2, 3.$$

Выберем функцию g такую, что

$$g(J) = \begin{cases} J, & J \leq 1, \\ 1, & J \geq 1, \end{cases}$$

т. е. соответствующую максимальной продукции фитопланктона (подробнее см. [11]). Результирующую функцию $\Psi(p)$ представим как

$$\Psi(p) = \frac{2}{\alpha p} \{x_*(1 + \ln p) - n \mathcal{L}(x_*) - p\alpha_*\} - 1,$$

$$\alpha_* = \begin{cases} \sin x_*, & n=1, \\ \frac{1}{2} \left[x_* + \frac{1}{2} \sin(2x_*) \right], & n=2, \\ \left(1 - \frac{1}{3} \sin^2 x_* \right) \sin x_*, & n=3, \end{cases}$$

$$x_* = \arccos(p^{-1/n}),$$

где \mathcal{L} — функция Лобачевского,

$$\mathcal{L}(x_*) = - \int_0^{x_*} \ln(\cos x) dx = x_* \ln 2 - \frac{1}{2} \sum_{j=1}^{\infty} (-1)^{j-1} \frac{\sin(2x_* j)}{j^2}.$$

Разница между функциями при разных n невелика, а при не слишком больших значениях p ею можно пренебречь.

7. Выводы. Используя известную ранее [11] величину максимальной эффективности преобразования энергии фитопланктоном ($\eta_{\text{max}} \approx 10\%$ ФАР), получаем среднегодовую плотность потока условной энергии

$$E_0 = \langle \Pi \rangle \eta_{\text{max}} = (12,6 - 0,0305 \varphi - 0,0014 \varphi^2) \text{ МВт/км}^2.$$

Эта величина не намного меньше оцененной ранее [12]. Автор благодарит К. А. Постова (Государственный астрономический институт им. П. К. Штернберга) за критический просмотр статьи.

СПИСОК ЛИТЕРАТУРЫ

- [1] Straskraba M.//The functioning of freshwater ecosystems/Ed. E. d. LeGren, S. W. Lowe-McConnel. Cambridge University Press. Cambridge, 1980. P. 13—84.
 [2] Беляев В. А., Хусаннова Б. Н.//Биосоляр/Ред. В. В. Алексеев. М., 1984. С. 30—32. [3] Hojerslev N. K.//J. Cons. Int. Explor. Mer. 1982. 40. P. 272—290.
 [4] Астрономический календарь, постоянная часть/Ред. П. И. Бакулин. 6-е изд. М., 1973. [5] Allen C. W. Astrophysical quantities. The Athlone Press. London, 1973.
 [6] Lang K. Astrophysical formulae. Vol. 11. Springer-Verlag. W.-Berlin, 1974. [7] Smart W. M. Text-book on spherical astronomy. Cambridge University Press. Cambridge, 1962. [8] O'Connor D., DiToro D. M.//J. San. Eng. Div. ASCE 1970. SA 2. P. 547—571. [9] Steel J. A.//Math. models in water pollution control./Ed. A. James. Wiley-Interscience. N. Y., 1978. [10] Straskraba M.//Abhandlungen der Ak. Wiss. DDR, Akademie-Verlag. Berlin, 1976. P. 33—66. [11] Baumert H., Uhlmann D.//Int. Revue ges. Hydrobiol. 1983. 68, N 6. P. 753—783. [12] Алексеев В. В. //Биосоляр/Ред. В. В. Алексеев. М., 1984. С. 5—16.

Поступила в редакцию
18.11.85